



# 第七章 偏微分方程方法I

谭 忠

厦门大学数学科学学院



# 目录

- 1 引子
- 2 历史源头问题—从音乐审美谈起
- 3 当今世界的应用—万物皆方程
- 4 一阶偏微分方程模型的建立



- 5 弦振动方程的建立
- 6 位势方程的建立
- 7 热传导方程的建立
- 8 高阶偏微分方程(组)模型的建立



## 1 引子

### 1、为什么产生数学？

量化思想以及可量化条件：变量识别



## 2、什么是偏微分方程？

与代数方程的比较



## 3、为什么会产生(偏)微分方程?

四种可以建模微分方程模型的情形



## 2 历史源头问题—从音乐审美谈起

### 1、历史源头问题之一：音乐审美

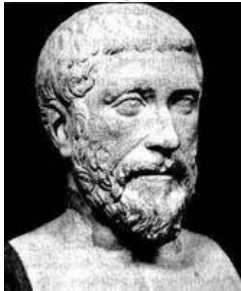


# 历史源头问题—从音乐审美谈起



由2500年前古希腊

著名的哲学家、数学家毕达哥拉斯



开创了音乐审美.





# 历史源头问题—从音乐审美谈起

---



传说有一天，  
毕达哥拉斯外出散步，  
经过一家铁匠铺，  
发现里面传出打铁的声音，



# 历史源头问题—从音乐审美谈起

---



要比别的铁匠铺  
更加协调、悦耳。  
他走进铺子，  
量了量铁锤和铁砧的大小，



发现了一个规律，  
音响的和谐  
与发声体体积的  
一定比例有关。



# 历史源头问题—从音乐审美谈起

---



尔后，他又在琴弦上做试验，  
进一步发现只要按比例  
划分一根振动着的弦，  
就可以产生悦耳的音程。



# 历史源头问题—从音乐审美谈起

---



就这样，毕达哥拉斯  
在世界上首次发现了  
音乐和数学的联系，  
并创建了毕氏音律。



# 历史源头问题—从音乐审美谈起

---



千百年来，研究  
音乐和数学的关系  
在西方一直  
是一个热门的课题，



# 历史源头问题—从音乐审美谈起



开普勒、伽利略、  
欧拉、傅立叶、哈代等人  
都潜心研究过  
音乐与数学的关系。



到“文艺复兴”时期，  
人们已经知道：  
声音都是由发音体  
发出的一系列频率、振幅  
各不相同的振动复合而成，





这些振动中有一个  
频率最低的振动，  
由它发出的音就是基音，  
其余为泛音，



# 历史源头问题—从音乐审美谈起

---



而响度较小、  
频率加倍的辅助音  
被称为谐音。



飞利浦·拉莫 (Jean-Philippe Rameau)

在1722 年

关于和声理论

阐述如下事实：



一声音的频率  
是基音频率的整数倍  
则称为乐声是和谐的。  
由此激起了人们  
运用数学来研究  
乐声的和谐问题。



现今已有专门的  
音乐与数学的书籍

Dave Benson, 《Music: A Mathematical Offering》,  
也有专门的  
音乐与数学的杂志

《Journal of Mathematics and Music》.



# 历史源头问题—从音乐审美谈起

---



1713-1714年，  
布鲁克·泰勒(Brook Taylor)  
就研究了这一古老的主题，  
他导出了一根  
拉紧的振动弦的基频，



得到了一个  
二阶常微分方程

$$a^2 \ddot{x} = \dot{s} y \dot{y}$$

这里  $\dot{s} = \sqrt{\dot{x}^2 + \dot{y}^2}$ ,

而微商  $\dot{s}$ ,  $\dot{x}$ ,  $\dot{y}$

是对时间取的,



关于偏微分方程  
第一次真正意义上的成功  
来自于对以小提琴弦  
为代表的弦振动问题的研究.





1746年，达朗贝尔

在论文《张紧的弦振动时形成的曲线的研究》中，

受1727年约翰·伯努利(Johann Bernoulli)

给他儿子丹尼尔·伯努利的

一封信和一篇论文的启发，



# 历史源头问题—从音乐审美谈起



考虑了一根弹性弦，  
在弦上等间隔的地方  
放置着 $n$ 个等质量的质点。  
弦被当成“小珠的弦”，



即弦被看成  
由 $n$  个离散的、相等的、等间隔的，  
并且彼此间用没有重量的  
柔软的弹性绳  
相连接的“珠子”构成。



为了处理连续的弦，  
“珠子”的数目  
允许变成无穷多个，  
同时每一个“珠子”的  
大小和质量都减小，



使得当“珠子”个数  
增加时总质量  
趋近连续弦的质量.



# 历史源头问题—从音乐审美谈起



Johann考虑:

如果弦的长度是 $l$ ,

第 $k$ 个“珠子”的横坐标

是 $x_k$ ,  $k = 1, \dots, n - 1$



在 $x = l$  处的

第 $n$ 个“珠子”是不动的,

那么

$$x_k = k \cdot \frac{l}{n}, \quad k = 1, \dots, n.$$



通过分析第 $k$ 个“珠子”的力，  
约翰·伯努利已经证明，  
如果 $y_k$ 是第 $k$ 个“珠子”的位移，则

$$\frac{d^2 y_k}{dt^2} = \left(\frac{na}{l}\right)^2 (y_{k+1} - 2y_k + y_{k-1}),$$
$$k = 1, \dots, n-1$$





其中  $a^2 = \frac{lT}{M}$ ,

$T$  是弦中的张力

(弦振动时它被当作常数),

$M$  是总质点,

这些研究最终只对

二阶常微分方程的理论有贡献.



在丹尼尔·伯努利的解答中

有两点失误：

第一，只考虑“珠子”所在点的位移  
是时间的函数，



从而，他的研究工作  
只能停留在  
常微分方程的范围；



第二，不提他认识到的  
那些简单运动模式（泛音）  
可以迭加成更复杂的运动  
的线性叠加原理。



达朗贝尔在他的论文中，  
从另一个角度重新考虑了

Johann Bernoulli推出的方程

$$\frac{d^2 y_k}{dt^2} = \left(\frac{na}{l}\right)^2 (y_{k+1} - 2y_k + y_{k-1}),$$
$$k = 1, \dots, n-1$$



他用 $y(x, t)$ 代替 $y_k$ ,

用 $\Delta x$ 代替 $\frac{l}{n}$ ,

于是上述方程变为

$$\frac{\partial^2 y}{\partial t^2} = a^2 \left[ \frac{y(x+\Delta x, t) - 2y(x, t) + y(x-\Delta x, t)}{(\Delta x)^2} \right].$$



然后他注意到

当 $n$ 变成无穷时,

$\Delta x$ 趋于0,

方括号内的表达式

就变成了 $\frac{\partial^2 y}{\partial x^2}$ .



因此他推出了

$$\frac{\partial^2 y}{\partial t^2} = a^2 \frac{\partial^2 y}{\partial x^2}, \quad (1.1)$$

其中  $a^2 = \frac{T}{\sigma}$  是常数,





# 历史源头问题—从音乐审美谈起

---



这样一来，弦振动方程  
就第一次出现了。  
这个方程含有  
对时间变量和  
空间变量的偏导数，



这时空间变量只有一维，

因而称为**一维波动方程**。

显然，D'Alembert的做法

强烈地依赖微积分的思想，



在当时微积分理论  
并没有完善而且也不严密.  
然而, D'Alembert的大胆试验  
却为人类应用微积分、



完善微积分的理论  
作出了重要贡献，  
也因此拉开了建立  
偏微分方程学科的序幕.



综上所述，  
对音乐的欣赏  
与理性分析  
产生了偏微分方程学科，



# 历史源头问题—从音乐审美谈起

---



正是对小提琴  
弦振动发声的研究  
导致了首个偏微分方程的出现，  
并最终形成了一个强大的学科。



# 历史源头问题—从音乐审美谈起



音乐和科学  
在同一个地点开始，  
文明本身也从这里开始，  
而站在源头的  
是毕达哥拉斯(Pythagoras)  
神话般的身影。



# 历史源头问题—从音乐审美谈起



英国作家亚瑟·凯斯特勒(Arthur Koestler)

用了一个音乐的比喻来描述它：

公元前6世纪的场面

唤起了一个期待定调的、

每个演奏者

只专注于自己的乐器





# 历史源头问题—从音乐审美谈起

---



而对别人的抱怨  
充耳不闻的管弦乐队的形象。  
然后是一片戏剧的静场，  
指挥走进舞台，



# 历史源头问题—从音乐审美谈起

---



用他的指挥棒轻敲了三下，  
于是，和谐从混乱中浮现。  
这个艺术大师就是  
萨摩斯(Samos)岛的毕达哥拉斯。



谢 谢！



2、历史源头问题之二：确定一个物体对另一物体的万有引力的大小



# 历史源头问题—从音乐审美谈起

---



随着弦振动方程的建立，  
另一类物理问题的研究  
也推动了偏微分方程  
学科的发展，



# 历史源头问题—从音乐审美谈起

---



这是十八世纪  
物理学中的主要问题之一，  
即确定牛顿提出的  
一个物体对另一物体



# 历史源头问题—从音乐审美谈起



产生的万有引力的大小，  
比如：太阳对一个行星，  
地球对它外部或  
内部的一个质点，  
那么如何描述这种引力呢？



3、历史源头问题之三：作为实际问题，冶炼金属；  
作为科学问题，是企图确定地球内部的温度





# 历史源头问题—从音乐审美谈起

---



1807年，傅里叶  
向巴黎科学院  
提交了一篇关于  
热传导的基本论文，



# 历史源头问题—从音乐审美谈起

---



经拉格朗日，  
拉普拉斯和勒让德评审  
后被拒绝了。



但科学院确实  
想鼓励傅里叶发展  
他的思想，所以  
把热传导问题  
确定为将于1812年  
授予高额奖金的课题。



# 历史源头问题—从音乐审美谈起



傅里叶在1811年  
提交了修改过的论文，  
受到上述诸人和  
另外一些人评审，  
得到了奖金，



但因受到缺乏  
严密性的批评  
而未发表在  
当时的科学院的  
《报告》里.



# 历史源头问题—从音乐审美谈起

---



傅里叶对他  
所受到的待遇  
感到愤恨，  
但他继续研究热的课题，



在1822年发表了  
数学的经典文献之一

《热的解析理论》

(Theorie analytique de la chaleur),

此书是傅里叶思想  
的主要出处.



在吸收或释放  
热的物体内部，  
温度分布一般  
是不均匀的，  
在任何点上都  
随时间而变化。





所以温度 $T$   
是空间和时间的函数，  
这个函数依赖于  
物体的形状、密度、  
材料的比热、



$T$ 的初始分布

(即在时刻 $t = 0$ 时 $T$ 的分布)

以及保持于物体

表面上的条件.



Fourier在他的书中  
考虑的第一个  
主要问题是  
在均匀和各向同性的物体内部



# 历史源头问题—从音乐审美谈起



确定作为 $x, y, z, t$ 的  
函数的温度 $T$ .

根据物理原理

他证明了 $T$ 必须

满足偏微分方程

$$k^2 \frac{\partial T}{\partial t} = \frac{\partial^2 T}{\partial x^2} + \frac{\partial^2 T}{\partial y^2} + \frac{\partial^2 T}{\partial z^2}$$



此方程叫做  
三维空间的热方程，  
其中 $k^2$ 是一个常数，  
其值依赖于  
物体的某些性质。



谢 谢！



## 3 当今世界的应用—万物皆方程

### 1、来自大自然的启示

#### (1)灾害的启示



地震：地震后的可怕景象：







地震灾害对人类威胁巨大，我们能预测它吗？

地震波的改变给我们什么信息？

地震波的传播有什么规律？

由此可以预报地震吗？



# 当今世界的应用—万物皆方程

---



**海啸：**海啸对人类威胁巨大，它能被我们预测吗？



**台风、飓风与龙卷风：**这些特定的风也都是空气的运动形成的，我们能够运用流体运动的特征通过偏微分方程建模预测它们吗？



**沙尘暴是如何形成的？** 风沙是一种特殊的流体，了解它们的运动可以预测它们的走势并及时治理沙尘暴！  
**沙丘如何形成？如何运动？能有效防止它们吗？**





如何准确预报天气或局部地区烟雾(雾霾)消散时间  
观察鞭炮在空中爆炸时,  
我们看到放出的烟雾  
以爆炸点为中心  
向四周迅速扩散,



形成一个近于  
圆形的不透光区域。  
起初这个区域逐渐增大，  
后来它的边界变得明亮起来，  
不透光区域渐渐变小，  
最后烟雾完全消失。



我们可以建立一个偏微分方程模型  
描述观察到的  
烟雾扩散和消失过程，  
分析消失的时间  
与哪些因素有关，  
以及怎样预报消失的时刻。



## (2)大自然趣妙现象的启示 水龙头里流啥有讲究





## 孤立波Soliton的发现

1834年秋，英国科学家、  
造船工程师

拉塞尔（John Scott Russell，也译为“罗素”）



在运河河道上看到了  
由两匹骏马拉着的  
一只迅速前进的船突然停止时，  
被船所推动的一大团水却不停止，



它积聚在船头周围激烈地扰动，  
然后形成一个滚园、  
光滑而又轮廓分明的大水包，  
高度约为0.3~0.5 米，长约10米，  
以每小时约13公里的速度  
沿着河面向前滚动。



罗素骑马沿运河  
跟踪这个水包时发现，  
它的大小、形状和速度变化很慢，  
直到3~4公里后，  
才在河道上渐渐地消失。



罗素马上意识到，  
他所发现的这个水包  
决不是普通的水波。  
普通水波由水面的振动形成，  
振动沿水平面上下进行，



水波的一半高于水面，  
另一半低于水面，  
并且由于能量的衰减会很快消失。  
他所看到的这个水包  
却完全在水面上，  
能量的衰减也非常缓慢。



并且由于它具有圆润、光滑的波形，  
所以它也不是激波。

罗素将他发现的这种奇特的波包  
称为**孤立波**。



他用大水槽模拟运河，  
并模拟当时情形  
给水以适当的推动，  
再现了他所发现的孤立波。





罗素认为孤立波  
应是流体力学的一个解，  
并试图找到这种解，但没有成功。  
罗素十年后向英国科学促进会  
报告了自己所发现的孤立波现象和观点，  
但未能引起人们的注意。



50年以后，即1895 年，  
两位数学家科特韦格（Korteweg）  
与得佛里斯（de Vries）从数学上  
导出了有名的浅水波Korteweg-DeVries 方程，



并给出了一个类似于  
罗素孤立波的解析解，  
即孤立波解，  
孤立波的存在才得到普遍承认。



在罗素逝世100 周年即1982 年，  
人们在罗素发现孤立波的运河河边  
树起了一座罗素像纪念碑，  
以纪念148 年前  
他的这一不寻常的发现。



谢 谢!



## 2、对人类社会活动的深思 金融危机与经济危机





在衍生证券的定价理论中，  
著名经济学家、  
诺贝尔奖获得者  
布莱克-斯科尔斯Black-Scholes



# 当今世界的应用—万物皆方程

---



建立的期权定价理论  
成为华尔街的操盘法律，  
而Black-Scholes公式  
则是一个偏微分方程！





# 当今世界的应用—万物皆方程



## 人口问题

拥挤的城市与纷繁的交通：





人口问题是当今世界上  
最令人关注的问题之一。  
以前人们建立了  
人口的指数增长模型和  
阻滞增长(logistic)模型,



这些模型只考虑  
人口总数和总的增长率，  
不涉及年龄结构，  
因而建立的是常微分方程。



事实上，在人口预测中  
人口按年龄分布状况  
是十分重要的，  
因为不同年龄人的生育率和  
死亡率有着很大的差别。



两个国家或地区

目前人口总数一样，

如果一个国家或地区



青年人的比例  
高于另一国家或地区，  
那么二者人口的  
发展状况将大不一样。



我们需要考虑人口  
按年龄分布，  
即除了时间变量外，  
年龄是另一自变量。  
这样描述人口发展规律的  
模型也是偏微分方程。



## 红绿灯下的交通流

各种类型的汽车一辆

接着一辆沿公路飞驰而过，

其情景就像在湍急的江河中

奔腾的水流一样，





在这种情况下  
人们不去分析  
每辆汽车的运动规律，  
而是把车队看作连续的流体，  
称为**交通流**或**车流**。



研究每一时刻通过公路上  
每一点的交通流的流量、  
速度和密度等变量间的关系，  
特别是在出现譬如红绿灯改变，



交通事故等干扰的情况下  
交通流的变化过程。  
人们建立交通流的  
基本方程是偏微分方程。



谢 谢!



# 一阶偏微分方程模型的建立



## 4 一阶偏微分方程模型的建立

用微元分析法，  
就是变量自身  
及其未知函数的  
变化率自身之间  
不满足物理等自然定律，



# 一阶偏微分方程模型的建立



但变量的微元之间  
符合某些规律与定律，  
这样，首先确立  
实际问题中的变量，



# 一阶偏微分方程模型的建立



再确立一些  
与这些变量的微元  
有关的规律及定律，  
列出等式，  
加以整理变成偏微分方程式。



# 一阶偏微分方程模型的建立

---



这既能建成常微分方程模型  
又能建成偏微分方程模型，  
既能建成一阶模型  
又能建成二阶模型.





# 一阶偏微分方程模型的建立



变分原理也能导出  
偏微分方程的模型，  
这将在变分方法中讲述。  
下面，我们依据产生  
不同阶数偏微分方程的  
顺序讲解其方法。

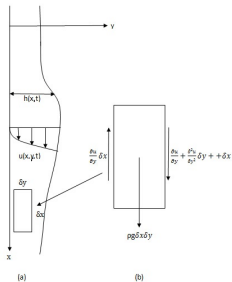


# 一阶偏微分方程模型的建立

## 一阶偏微分方程模型的建立

### 例题2.1 沿墙壁流下的油漆薄层：

如图所示





# 一阶偏微分方程模型的建立



考察沿墙壁流下的油漆薄层运动.

## 【模型构建】

由于油漆层很薄,

因此速度 $u(x, y, t)$ 近似地  
只沿墙壁向下一个方向.



# 一阶偏微分方程模型的建立



油漆的黏性抵抗

油漆自身的重力，

从而产生剪应力.

假设剪应力

与速度的梯度  $\frac{\partial u}{\partial y}$  成正比.



# 一阶偏微分方程模型的建立



由流体微元的力平衡

可以得到  $\frac{\partial^2 u}{\partial y^2}$

是一个常数  $-c$ ,

该常数与重力成正比.



# 一阶偏微分方程模型的建立



假设油漆粘在墙上,

因此在 $y = 0$  上,  $u = 0$ .

又由于在油漆表面 $y = h(x, t)$ ,

剪应力为0,

故 $\frac{\partial u}{\partial y} = 0$ .



# 一阶偏微分方程模型的建立



于是需要求解如下问题

$$\begin{cases} \frac{\partial^2 u}{\partial y^2} = -c \\ u = 0, \text{ 当 } y = 0 \text{ 时} \\ \frac{\partial u}{\partial y} = 0, \text{ 当 } y = h(x, t) \text{ 时} \end{cases}$$

解得

$$u = \frac{1}{2}cy(2h - y)$$



# 一阶偏微分方程模型的建立



最后，由薄层的质量守恒定律，  
油漆厚度的变化速度  
与沿墙壁向下的  
油漆流的变化是平衡的.





# 一阶偏微分方程模型的建立



记流量为  $q(x, t) = \int_0^h u dy$ ,

经过一小段时间  $\Delta t$ ,

长度为  $\Delta x$  的

小单元质量损失约

$$(q(x, t) - q(x + \Delta x, t)) \Delta t$$



# 一阶偏微分方程模型的建立



增加的质量为

$$(h(x, t + \Delta t) - h(x, t))\Delta x$$

于是

$$\begin{aligned} & (q(x, t) - q(x + \Delta x, t))\Delta t \\ &= (h(x, t + \Delta t) - h(x, t))\Delta x \end{aligned}$$



# 一阶偏微分方程模型的建立



整理并关于 $\Delta t$ ,  $\Delta x$ 取极限得到

$$\frac{\partial h}{\partial t} + \frac{\partial}{\partial x} \int_0^h u dy = 0$$

将 $u = \frac{1}{2}cy(2h - y)$ 代入上式得

$$\frac{\partial h}{\partial t} + ch^2 \frac{\partial h}{\partial x} = 0.$$



# 一阶偏微分方程模型的建立

---



谢 谢!



## 5 弦振动方程的建立

**弦振动问题的现代提法与弦振动方程的建立**

D'Alembert的工作

经过后人整理

成为现代教科书上的标准形式.

先考虑如下的物理模型:



## 例题2.2 弦的横振动：

一长为 $l$ 的柔软、  
有弹性的、均匀的  
细弦拉紧以后，  
让它离开平衡位置



# 弦振动方程的建立



在垂直于弦线的  
外力作用下  
作微小横振动，  
即弦的运动发生  
在同一平面内，



# 弦振动方程的建立

---



且弦上各点的位移  
与平衡位置垂直.  
求在不同时刻  
弦线的形状.





# 弦振动方程的建立



## 【问题分析】

看上去像几何问题，  
因为求“形状”，  
实际上从物理上看是求位移。



# 弦振动方程的建立

---



在数学上有两个角度

看这个问题：

一是从几何角度，

称为弦的几何形状；



# 弦振动方程的建立



二是从分析的角度看，  
就是将它放在坐标系中，  
这个几何形状的  
函数表达式是如何的？  
它依赖于什么变量？



# 弦振动方程的建立



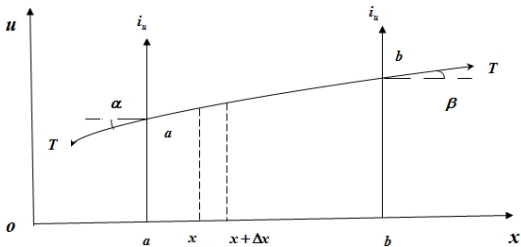
首先建立坐标系，  
取弦的平衡位置为 $x$ 轴，  
在弦线运动的平面内，  
垂直于弦线的平衡位置  
且通过弦线的一个  
端点的直线为 $u$ 轴.



# 弦振动方程的建立



如下图：





# 弦振动方程的建立



这样在任意时刻 $t$ ,  
弦线上各点的位移为

$$u = u(x, t)$$

由于做微小横振动,  
在这弦上任取一弦段 $(x, x + \Delta x)$ ,



# 弦振动方程的建立



它的弧长为

$$\Delta s = \int_x^{x+\Delta x} \sqrt{1 + \left(\frac{\partial u}{\partial x}\right)^2} dx,$$

由微小横振动知  $\frac{\partial u}{\partial x}$  很小,



# 弦振动方程的建立



于是  $(\frac{\partial u}{\partial x})^2$  与 1 相比

可以忽略不计,

从而

$$\Delta s \approx \int_x^{x+\Delta x} dx = \Delta x.$$





# 弦振动方程的建立



这样，可以认为  
这段弦在振动过程中并未伸长，  
弦的往返运动的主要原因  
是强迫外力和张力的影响.



# 弦振动方程的建立



弦在运动过程中，  
各点的位移、加速度、张力等  
都在不断变化，  
但它们遵循动量守恒定律。



## 【问题假设】

### 假设1(量纲假设)

设 $\rho$ 为弦的线密度（千克/米），

$f_0$ 为作用在弦线上

且垂直于平衡位置的

强迫外力密度（牛顿/米）；



# 弦振动方程的建立



假设2 设 $\alpha$ ,  $\beta$ 是  
两端点处的切线  
与 $x$ 轴正向的夹角.  
设弦线是均匀的,



# 弦振动方程的建立



弦作微小横振动,

故可以认为:

$$|\alpha|, |\beta| \ll 1,$$

$$\sin \alpha \sim \alpha, \quad \sin \beta \sim \beta;$$

$$\sin \alpha \sim \tan \alpha, \quad \sin \beta \sim \tan \beta;$$



假设3 设在区域

$(0, l) \times (0, \infty)$ 内,

$u$ 存在二阶连续偏导数

$\frac{\partial^2 u}{\partial x^2}$ 和 $\frac{\partial^2 u}{\partial t^2}$ .



# 弦振动方程的建立

---



【模型构建】

动量守恒定律

物体在某一时段

即时间间隔内的



# 弦振动方程的建立



动量的增量  
等于作用在该物体上  
所有外力在  
这一时段内产生的冲量.





# 弦振动方程的建立



即

动量( $t = t_2$ ) - 动量( $t = t_1$ )  
= 外力在时段( $t_1 \leq t \leq t_2$ )内  
产生的冲量



# 弦振动方程的建立

---



我们应用这个定律  
建立弦上各点的位移  
所满足的偏微分方程.



# 弦振动方程的建立

---



如果物体具有  
均匀质量 $m$   
且按匀速 $v$ 运动,  
那么动量为 $mv$ .



# 弦振动方程的建立



因此，在弦上  
任意截取一段 $[a, b]$ ，  
考虑它在任意时段  
 $[t_1, t_2]$ 动量的变化.



# 弦振动方程的建立



从而在任意时刻 $t$ ,

将弦段 $[a, b]$ 分划

$$a = x_0 < x_1 < \cdots < x_{i-1} < x_i < \cdots < x_n = b$$

那么在一小段 $[x_{i-1}, x_i]$ 的

质量 $\rho(\xi_i)\Delta x_i$ ,



# 弦振动方程的建立



速度为位移

关于时间的导数，即  $\frac{\partial u}{\partial t}$  .

因此，在此时刻

这个小区间上的动量为：

$$\rho \Delta s_i \frac{\partial u}{\partial t} = \rho \frac{\partial u}{\partial t} \Delta x_i$$



# 弦振动方程的建立



弦段 $[a, b]$ 上总的动量为

$$\Sigma \rho \Delta x_i \frac{\partial u}{\partial t} = \Sigma \rho \frac{\partial u}{\partial t} \Delta x_i$$

故由定积分定义

$$\lim_{\|\Delta\| \rightarrow 0} \Sigma \rho \Delta x_i \frac{\partial u}{\partial t} = \int_a^b \rho \frac{\partial u}{\partial t} dx.$$

$$\text{这里 } \|\Delta\| = \max_{1 \leq i \leq n} (\Delta x_i).$$



# 弦振动方程的建立



在时段 $[t_1, t_2]$ 内的  
动量变化为

$$\int_a^b \left( \rho \frac{\partial u}{\partial t} \right)_{t=t_2} dx - \int_a^b \left( \rho \frac{\partial u}{\partial t} \right)_{t=t_1} dx. \quad (2.1)$$





# 弦振动方程的建立



为了求出作用  
在弦段 $[a, b]$ 上  
所有垂直于弦线的外力  
产生的冲量,



# 弦振动方程的建立



注意到作用于  
弦段 $[a, b]$ 上的外力有两类：  
外加强迫力和周围弦线  
通过端点 $x = a, b$   
作用于弦段 $[a, b]$ 的张力.



# 弦振动方程的建立



外加强迫力  
在时段 $[t_1, t_2]$ 内  
所产生的冲量是

$$\lim_{\|\Delta\| \rightarrow 0} \sum f_0 \Delta x \Delta t = \int_{t_1}^{t_2} dt \int_a^b f_0 dx. \quad (2.2)$$



# 弦振动方程的建立

---



由胡克定律知道，  
弦上每一点所受张力  
在运动过程中保持不变，  
即张力与时间无关。



# 弦振动方程的建立



将在 $x$  点处的张力记为 $T_x$ ,  
它表示在 $x$  点处  
弦的左边部分  
对右边部分的拉力  
与弦的右边部分  
对左边部分的拉力大小均为 $T_x$ ,



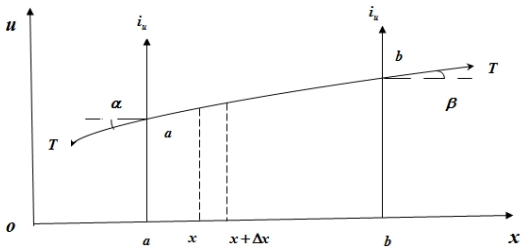
# 弦振动方程的建立



而张力 $T_x$  的方向  
总是沿着弦  
在 $x$ 点处的切线方向.  
因此, 作用在端点 $x = a$   
和 $x = b$ 的张力 $T_a, T_b$ ,  
它们的方向如图.



# 弦振动方程的建立





# 弦振动方程的建立



它们在 $u$  轴方向的分量  
才是引起弦

上下振动的作用力，为

$$T_a \cdot i_u = |T_a| \cos(T_a, i_u) = -|T_a| \sin \alpha,$$

$$T_b \cdot i_u = |T_b| \cos(T_b, i_u) = |T_b| \sin \beta.$$

这里 $i_u$ 表示 $u$ 轴上的单位向量.





# 弦振动方程的建立



由假设2, 弦线是均匀的,  
弦作微小横振动,  
故可以认为:  $|\alpha|, |\beta| \ll 1$ ,  
 $\sin \alpha \sim \tan \alpha$ ,  $\sin \beta \sim \tan \beta$ .  
以及  $|T_a| = |T_b| = T_0$ ,  
其中  $T_0$  为常数.



# 弦振动方程的建立



思考题：为什么这样假设？

如果取 $\sin \alpha \sim \alpha$

和 $\sin \beta \sim \beta$ 会怎样？



# 弦振动方程的建立



因此，张力 $T_a$ ， $T_b$ 的垂直于弦线的分量在时段 $[t_1, t_2]$ 内产生的冲量是：

$$\begin{aligned} & \int_{t_1}^{t_2} T_0 \tan \beta dt - \int_{t_1}^{t_2} T_0 \tan \alpha dt \\ &= \int_{t_1}^{t_2} \left[ \left( T_0 \frac{\partial u}{\partial x} \right)_{x=b} - \left( T_0 \frac{\partial u}{\partial x} \right)_{x=a} \right] dt. \quad (2.3) \end{aligned}$$



# 弦振动方程的建立



考虑到表达式(2.1)、(2.2)、(2.3),  
从而由动量守恒定律  
得到弦线作微小横振动  
所满足的方程



# 弦振动方程的建立



$$\begin{aligned} & \int_a^b \left[ \left( \rho \frac{\partial u}{\partial t} \right)_{t=t_2} - \left( \rho \frac{\partial u}{\partial t} \right)_{t=t_1} \right] dx \\ &= \int_{t_1}^{t_2} \left[ \left( T_0 \frac{\partial u}{\partial x} \right)_{x=b} - \left( T_0 \frac{\partial u}{\partial x} \right)_{x=a} \right] dt \\ &+ \int_{t_1}^{t_2} dt \int_a^b f_0 dx. \quad (2.4) \end{aligned}$$

其中 $[a, b]$ 是包含在

弦线 $[0, l]$ 内的任意弦段,



# 弦振动方程的建立



$[t_1, t_2]$ 是包含

在振动期间 $[0, \infty)$ 的任意时段.

由假设3, 在区域 $(0, l) \times (0, \infty)$ 内,

$u$ 存在二阶连续微商

$\frac{\partial^2 u}{\partial x^2}$ 和 $\frac{\partial^2 u}{\partial t^2}$ .



# 弦振动方程的建立



那么由牛顿-莱布尼兹公式,

表达式(2.4)可改写为

$$\int_{t_1}^{t_2} dt \int_a^b \left[ \frac{\partial}{\partial t} \left( \rho \frac{\partial u}{\partial t} \right) - \frac{\partial}{\partial x} \left( T_0 \frac{\partial u}{\partial x} \right) - f_0 \right] dx = 0.$$



# 弦振动方程的建立



由 $(a, b)$ ,  $(t_1, t_2)$ 的任意性,  
立即得到 $u$ 适合的微分方程

$$\frac{\partial}{\partial t}(\rho \frac{\partial u}{\partial t}) - \frac{\partial}{\partial x}(T_0 \frac{\partial u}{\partial x}) = f_0 \quad (0 < x < l, t > 0).$$





# 弦振动方程的建立



由于弦是均匀的，故 $\rho$ =常数.

因此方程亦可改写为

$$\frac{\partial^2 u}{\partial t^2} - a^2 \frac{\partial^2 u}{\partial x^2} = f(x, t) \quad (0 < x < l, t > 0).$$

$$\text{其中 } a^2 = \frac{T_0}{\rho}, \quad f(x, t) = \frac{f_0(x, t)}{\rho}.$$



谢 谢!



## 6 位势方程的建立

**位势理论的现代提法与位势方程的建立**

**例题2.3 位势方程的建立：**



# 位势方程的建立



一个连续物体  
对一个被看作质点的  
单位质量的质点 $P$   
所作用的万有引力



# 位势方程的建立

---



是构成该物体的  
全体质量微元对质点 $P$   
所作的力的总和.



# 位势方程的建立



## 【问题分析】

设吸引体物体为 $\Omega$ ,  
如果物体的小体积元  
 $d\xi d\eta d\zeta$ 非常小,



# 位势方程的建立



以至可看作集中

在点 $(\xi, \eta, \zeta)$ 的一个质点.

如果 $P$ 的坐标是 $(x, y, z)$ .



# 位势方程的建立



那么， $\Omega$ 中密度为 $\rho$ 的小质量  
对单位质点的引力  
是从 $P$ 指向质量微元的

一个向量  $\left( \frac{\xi-x}{r}, \frac{\eta-y}{r}, \frac{\zeta-z}{r} \right)$ ,

大小为  $k\rho \frac{d\xi d\eta d\zeta}{r^2}$ .





## 【模型构建】

按牛顿万有引力定律，  
写成分量形式为

$$k\rho\frac{d\xi d\eta d\zeta}{r^2}\left(\frac{\xi-x}{r}, \frac{\eta-y}{r}, \frac{\zeta-z}{r}\right).$$

其中 $k$ 是牛顿万有引力定律中的常数，



# 位势方程的建立



并且  $r = \sqrt{(x - \xi)^2 + (y - \eta)^2 + (z - \zeta)^2}$

为这两点之间的距离.

当然密度  $\rho$  可以是  $\xi, \eta, \zeta$  的函数, 记为  $\rho(\xi, \eta, \zeta)$

但在均匀物体中是一个常数,  $\rho(\xi, \eta, \zeta) \equiv \rho_0$ .



# 位势方程的建立



整个物体对 $P$ 处  
单位质量的引力分量是

$$F(x, y, z) =$$

$$k\left(\int_{\Omega} \rho \frac{\xi-x}{r^3} d\xi d\eta d\zeta, \int_{\Omega} \rho \frac{\eta-y}{r^3} d\xi d\eta d\zeta, \int_{\Omega} \rho \frac{\zeta-z}{r^3} d\xi d\eta d\zeta\right)$$

$F(x, y, z)$ 称为引力场函数,



# 位势方程的建立



当 $\rho$ 是常数时，直接计算可知 $F(x, y, z)$ 是函数

$$V(x, y, z) = k \iiint_{\Omega} \frac{\rho}{r} d\xi d\eta d\zeta$$

的梯度，即

$$\nabla V = \left( \frac{\partial V}{\partial x}, \frac{\partial V}{\partial y}, \frac{\partial V}{\partial z} \right)$$



# 位势方程的建立



简记为  $F(x, y, z) = \nabla V$ ,

函数  $V$  称为**位势函数**.

进一步直接计算可以验证,



# 位势方程的建立



$P(x, y, z)$ 在 $\Omega$ 以外,

即对吸引体外部的点 $(x, y, z)$ ,

它满足偏微分方程

$$\frac{\partial^2 V}{\partial x^2} + \frac{\partial^2 V}{\partial y^2} + \frac{\partial^2 V}{\partial z^2} = 0$$

简记为 $\Delta V = 0$



# 位势方程的建立

---



这个方程首先由拉普拉斯提出，  
所以称为拉普拉斯方程，  
也称为位势方程。



# 位势方程的建立



若 $\rho(x, y, z)$ 充分光滑,

则 $P$ 在 $\Omega$ 内满足

$$\Delta V = -4\pi\rho$$

这个方程称为

泊松(Poisson)方程.





谢 谢!



## 7 热传导方程的建立

热传导问题的现代提法与热传导方程的建立

例题2.4 热传导问题：



# 热传导方程的建立



在三维空间中，  
考虑一均匀、各向同性的物体，  
假定它内部有热源，  
并且与周围介质有热交换，  
来研究物体内部温度的分布和变化。



## 【问题分析】

物体内部由于  
各部分温度不同  
产生热量的传递，  
它们遵循能量守恒定律。



## 能量守恒定律

物体内部的热量的增加  
等于通过物体的边界  
流入的热量  
与由物体内部的热源  
所生成的热量的总和.



# 热传导方程的建立



$t_2$ 时刻热量  $- t_1$ 时刻热量  
= 在  $[t_1, t_2]$  时段  
通过边界的流入量  
+ 在  $[t_1, t_2]$  时段  
热源的生成量;



# 热传导方程的建立



在物体 $\Omega$ 内  
任意截取一块 $D$ ,  
并在时段 $[t_1, t_2]$ 上  
对 $D$ 使用能量守恒定律.



## 【问题假设】

### 假设1(量纲假设)

$u$ 是温度(度),

$c$ 是比热(焦耳/度·千克),

$\rho$ 是密度(千克/米<sup>3</sup>),





# 热传导方程的建立



$q$ 是热流密度又称热通量，  
表示单位时间内  
通过单位面积的热量；  
焦耳/秒·米<sup>2</sup>，  
 $f_0$ 是热源强度(焦耳/千克·秒。



假设2

$u$ 在柱体 $\Omega \times (0, \infty)$ 内

具有连续偏导数

$$\frac{\partial u}{\partial t}, \quad \frac{\partial u}{\partial x},$$

$$\frac{\partial^2 u}{\partial x^2}, \quad \frac{\partial^2 u}{\partial y^2}, \quad \frac{\partial^2 u}{\partial t^2},$$



## 【模型构建】

注意到在 $dt$ 时段内

通过 $D$ 的边界 $\partial D$ 上面积微元 $dS$

进入区域 $D$ 的热量为 $-q \cdot \nu dS dt$

$\nu$ 是 $\partial D$ 的单位外法向,



从而由能量守恒定律有

$$\begin{aligned} & \iiint_D c \varrho (u|_{t=t_1} - u|_{t=t_2}) dx dy dz \\ &= - \int_{t_1}^{t_2} dt \iint_{\partial D} q \cdot \nu ds \\ &+ \int_{t_1}^{t_2} dt \iiint_D \varrho f_0 dx dy dz. (2.6) \end{aligned}$$



# 热传导方程的建立



物理学的实验表明，  
在一定条件下，  
热流向量与温度梯度成正比：

$$q = -\kappa \nabla u. (2.7)$$

负号表明热量是由高温向低温运动.



# 热传导方程的建立



$\kappa$ 是物体的导热系数，

(2.7)称为Fourier定律.

把(2.7)代入(2.6)，注意到

$$\boldsymbol{q} \cdot \boldsymbol{\nu} = -\kappa \frac{\partial u}{\partial \nu}$$



从而(2.6)式可改写为

$$\begin{aligned} & \iiint_D c \varrho (u|_{t=t_1} - u|_{t=t_2}) dx dy dz \\ &= \int_{t_1}^{t_2} dt \iint_{\partial D} \kappa \frac{\partial u}{\partial \nu} ds \\ &+ \int_{t_1}^{t_2} dt \iiint_D \varrho f_0 dx dy dz. \end{aligned}$$



# 热传导方程的建立



由假设2,  $u$ 在柱体 $\Omega \times (0, \infty)$ 内  
具有连续偏导数

$$\frac{\partial u}{\partial t}, \quad \frac{\partial u}{\partial x},$$

$$\frac{\partial^2 u}{\partial x^2}, \quad \frac{\partial^2 u}{\partial y^2}, \quad \frac{\partial^2 u}{\partial t^2},$$





则应用Gauss公式，立得

$$\begin{aligned} & \int_{t_1}^{t_2} dt \iiint_D c \varrho \frac{\partial u}{\partial t} dx dy dz \\ &= \int_{t_1}^{t_2} dt \iiint_D [\nabla \cdot (\kappa \nabla u) + \varrho f_0] dx dy dz \end{aligned}$$



# 热传导方程的建立



由于被积函数  
在 $\Omega \times (0, \infty)$ 内连续,  
以及 $[t_1, t_2]$ ,  $D$ 的任意性  
又由于物体均匀,  
各向同性,  
 $c, \rho, \kappa$ 都是常数,



# 热传导方程的建立



立得

$$\frac{\partial u}{\partial t} - a^2 \Delta u = f, (2.8)$$

其中  $a^2 = \frac{\kappa}{\rho c}$ ,

$$f = \frac{f_0}{c},$$



# 热传导方程的建立



$\Delta$ 是三维Laplace算子,

当 $f \geq 0$ 时表示热源;

当 $f \leq 0$ 时表示热汇.

方程(2.8)称为热传导方程.



# 热传导方程的建立



其中，当 $f(x, y, z, t) \equiv 0$ 时，  
方程称为齐次热传导方程，  
而当 $f(x, y, z, t) \neq 0$ 时，  
方程称为非齐次热传导方程。  
通过扩散的物理现象  
也可以得到类似的模型。



谢 谢!



## 8 高阶偏微分方程(组)模型的建立

### 高阶偏微分方程和偏微分方程组模型的建立

#### 1、高阶偏微分方程模型的建立



## 例题2.5 卡恩-希利亚德 (The Cahn - Hilliard) 方程:

卡恩-希利亚德Cahn-Hilliard方程是  
二元合金中  
相分离过程的数学模型





# 高阶偏微分方程(组)模型的建立



它的物理应用  
已扩展到诸多科学领域,  
如调幅分解,  
嵌段聚合物,



# 高阶偏微分方程(组)模型的建立



如调幅分解，嵌段聚合物，  
图像修复，多相流体，  
具有弹性不均匀性质的微观结构，  
肿瘤生长模拟与拓扑优化，



# 高阶偏微分方程(组)模型的建立



即

$$\frac{\partial \psi}{\partial t}(x, t) = \nabla \cdot [M(\psi(x, t)) \nabla \mu(x, t)],$$

$$x \in \Omega, t > 0$$

$$\mu(x, t) = F'(\psi(x, t) - \varepsilon^2 \Delta \psi(x, t))$$

$$\frac{\partial \psi}{\partial t}(x, t) = \frac{\partial \mu}{\partial \eta}(x, t) = 0, x \in \partial\Omega$$



# 高阶偏微分方程(组)模型的建立



这里  $\Omega \subset R^d (d = 1, 2, 3)$

是有边界  $\partial\Omega$  的有界区域.

量  $\phi(x, t) = m_\alpha - m_\beta$

是定义为两个分子式之差的相场,

其中  $m_\alpha$  和  $m_\beta$

分别是相  $\alpha$  和  $\beta$  分子式.



# 高阶偏微分方程(组)模型的建立



$F(\phi) = 0.25(\phi^2 - 1)^2$ 是

组分 $\phi$ 的齐次系统的双井位势.

$M(\phi(x, t))$ 是正迁移,

$\varepsilon$ 是正常数,

$\frac{\partial \phi}{\partial n}$ 是在区域边界的单位外法向导数.



## 例题2.6 黏性薄膜流体问题：

另外一类导致

四阶抛物型方程的问题

是有关在表面张力作用下的

黏性薄膜流体，



# 高阶偏微分方程(组)模型的建立



如油漆式涂料的流动.  
通常令薄膜的厚度为 $h$ ,  
压力为 $p$ ,  
与没有重力的影响下  
压力约等于它  
在薄膜表面的值的情况不同,



# 高阶偏微分方程(组)模型的建立



现在它等于表面张力  
与曲率的乘积，  
所以 $p$ 与 $-\Delta h$ 近似成比例，  
假设膜很薄且 $|\nabla h|$ 非常小，  
这里 $\nabla$ 为  
在薄膜表面上的二维梯度。





# 高阶偏微分方程(组)模型的建立



仍然能用近似润滑理论  
得到平面内速度  
与 $-h^2\nabla p$ 成正比,  
所以流体的通量  
与 $-h^3\nabla^2 p$ 成正比.



# 高阶偏微分方程(组)模型的建立



最后，由质量守恒定律，  
在适当的尺度下，得到

$$\frac{\partial h}{\partial t} = -\nabla \cdot (h^3 \nabla (\Delta h))$$

即得到了具有三次扩散系数  
四阶扩散方程.



# 高阶偏微分方程(组)模型的建立



类似于Cahn-Hilliard方程,  
上述方程有很多问题  
没有解决  
因为在 $h = 0$ 时的退化  
比多孔介质方程更加严重.



## 2、偏微分方程组模型的建立

### 例题2.7 气体动力学：

气体动力学建立的模型

都是偏微分方程组，

可以参考李大潜先生的

【物理学与偏微分方程】.



# 高阶偏微分方程(组)模型的建立

---



谢 谢!